

## МАГНИТНЫЕ ЛОВУШКИ

УДК 533.9

### АСИММЕТРИЧНАЯ ЦЕНТРОБЕЖНАЯ ЛОВУШКА

© 1997 г. В. И. Волосов

Институт ядерной физики им. Г.И. Будкера СО РАН

Поступила в редакцию 21.11.96 г.

Окончательный вариант получен 20.03.97 г.

Предлагается асимметричный вариант центробежной ловушки, в котором высокоэнергетичные продукты термоядерных реакций и частицы основной плазмы выходят из ловушки через разные пробки, тем самым решается проблема удаления "золы". Обсуждаются вопросы рекуперации энергии заряженных частиц, покидающих ловушку.

#### 1. Введение

Одной из существенных задач в проблеме управляемого термоядерного синтеза (УТС) является вывод продуктов реакции из стационарной магнитной ловушки (очистка от золы). К этой задаче близко примыкает другая – съем энергии продуктов реакции и превращение ее в электрическую энергию в тех случаях, когда значительная часть энергии заключена в заряженных продуктах реакции (DD или D<sup>3</sup>He).

Ниже рассматривается возможность относительно простого решения этих задач для центробежной ловушки (ЦЛ) – одной из модификаций ловушки с врачающейся плазмой [1]. Особенностью рассматриваемой ниже системы является асимметрия магнитной системы вдоль оси Z; каждая из двух магнитных пробок выполняет различные функции. В одной из них расположена электродная система, осуществляющая ввод электрических полей в плазму, ее нагрев и стабилизацию; через другую выводятся продукты реакции, причем за пробкой расположен рекуператор энергии этих частиц (преобразователь энергии).

Рассматриваемая система дает новые принципиальные решения проблем: горячих  $\alpha$ -частиц (они не накапливаются в объеме реактора), "золы" и переработки энергии заряженных продуктов реакции.

Возможность практической реализации подобных систем с параметрами, близкими к реакторным, была показана в [1–3].

#### 2.1. Центробежная ловушка

Будем ниже называть для сокращения "пробками" центробежной ловушки торцевые участки ЦЛ, на которых удерживается плазма.

Особенностью обычной ЦЛ, как уже отмечалось ранее [1], является наличие двух механизмов удержания плазмы: магнитного и центробежного. Магнитное удержание характеризуется маг-

нитным пробочным отношением  $R_H$  – отношением магнитного поля в пробках  $H_m$  к полю в центре ловушки  $H_0$  (нижние индексы  $m$  и 0 далее относятся к пробке и центру ловушки соответственно):  $R_H = H_m/H_0$ , а центробежное – отношением радиуса (расстояния до оси ловушки) магнитной силовой линии в центре  $r_0$  к радиусу в пробке  $r_m$ ,  $R_r = (r_0/r_m)^2$ ; кроме того, время удержания плазмы зависит от параметров плазмы и скорости ее вращения  $V_E = cE_0/H_0$ . Величины  $R_H$  и  $R_r$  в ЦЛ могут регулироваться, например, за счет ведения дополнительных магнитных обмоток в центральный объем ловушки или изменения токов в обмотках, расположенных в этой области [1]. При этом в каждой пробке можно независимо изменять как  $R_H$ , так и  $R_r$ . Заметим, что ионы плазмы в ЦЛ удерживаются в основном центробежным потенциалом, а продукты реакции – магнитным потенциалом. Условие удержания частиц в ЦЛ имеет вид [4]:

$$v_{\parallel 0}^2 < v_{\perp 0}^2(R_H - 1) + V_E^2(1 - 1/R_r) + e\Delta\phi/2m, \quad (1)$$

где  $v_{\parallel 0}$  и  $v_{\perp 0}$  – скорость частицы вдоль и поперек магнитных силовых линий в центре ловушки,  $\Delta\phi = \phi_0 - \Phi_m$  – продольное падение электрического потенциала. Подобная ловушка имеет ряд преимуществ по сравнению с классическими проектами термоядерных установок: нет инжекторов и систем нагрева, достижимость высоких  $Q$  в относительно компактных системах, достижимость высоких  $\beta$  и аксиальная симметрия магнитного поля и т.д. [1, 2]. Одно из таких преимуществ – возможность простого вывода продуктов реакции за пролетные времена из плазмы [см. [1]]. Однако эффективность рекуперации энергии  $\alpha$ -частиц в этой системе низка, поскольку рекуперация энергии происходит на электродной системе, предназначеннной для рекуперации энергии ионов, уходящих из ловушки. Очевидно, что система, рассчитанная на эффективную работу с ионами ( $T_i = 50–100$  кэВ,  $W_{\parallel m} \ll T_i$ ,  $W_{Ei} \approx T_i$ ), не может

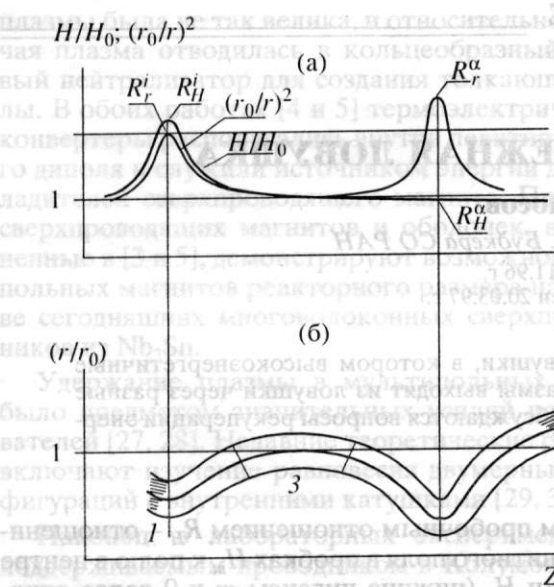


Рис. 1. Структура магнитных полей в асимметричной магнитной ловушке: а – зависимости напряженности магнитного поля ( $H/H_0$ ) и величины центробежного потенциала  $\sim(r_0/r)^2$  относительно центра ловушки от расстояния вдоль оси ловушки; б – зависимость отношения  $(r/r_0)$  от расстояния вдоль оси; 1 – ионный рекуператор, 2 –  $\alpha$ -частичный рекуператор (преобразователь энергии).

быть одновременно достаточно эффективной для  $\alpha$ -частиц или других продуктов термоядерной реакции ( $W_\alpha = 1-14$  МэВ,  $W_{||m} = W_\alpha$ ,  $W_{E\alpha} \ll W_\alpha$ ); здесь  $W_E$  и  $W_{E\alpha}$  равны  $m_i V_E^2/2$  и  $m_\alpha V_E^2/2$  соответственно;  $W_{||m}$  – продольная энергия частицы при прохождении пробки. Максимальная рекуперированная энергия ( $W_r$ ) в такой системе равна:  $W_r/W_\alpha = R_r^{-1} (W_{E\alpha}/W_\alpha)^{1/2}$ , по оценке для разных систем эта величина равна 3–10% [1].

## 2.2. Асимметричная центробежная ловушка

Наличие двух независимых потенциалов в открытой ловушке позволяет создать нетрадиционную схему термоядерного процесса.

Рассмотрим асимметричную по  $Z$  центробежную магнитную ловушку (АЦЛ). Поскольку в каждой пробке можно независимо изменять  $R_H$  и  $R_r$ , то выберем их значения таким образом, чтобы ионы и электроны плазмы уходили только через ту пробку, где расположен электродный узел ( $i$ -пробка), а продукты реакции только через другую ( $\alpha$ -пробку), за которой расположен  $\alpha$ -рекуператор.

Для этого пробка, через которую уходят ионы плазмы ( $i$ -пробка) и в которой расположен электродный узел, должна иметь радиальное пробоч-

ное отношение  $R_r^i > 0$  (типичное  $R_r \approx 2-5$ ), магнитное поле в этой пробке должно быть выше, чем в центре ловушки  $R_H^i > 1$ , так чтобы  $\alpha$ -частицы не уходили через нее. Пробка, через которую уходят продукты реакции ( $\alpha$ -частицы), должна иметь радиальное пробочное отношение выше, чем в плазменной пробке  $R_r^\alpha > R_r^i$ , так чтобы ионы плазмы не могли выходить через нее. Магнитное поле в этой пробке должно быть ниже, чем поле в центре, причем поле монотонно убывает от центра к пробке так, чтобы продукты реакции под действием магнитного поля выбрасывались через нее в область рекуперации, т.е.  $R_H^\alpha < 1$ .

Структура магнитных полей в АЦЛ приведена на рис. 1. Следует заметить, что область рекуператора показана на этом рисунке не в масштабе. Реально расстояние между  $\alpha$ -пробкой и рекуператором должно быть много больше ( $>10$ ), чем поперечный размер слоя плазмы. Это требование связано, в частности, с необходимостью удаления Не из рекуператора при условии, что обратное поступление Не в ловушку должно отсутствовать. Магнитное поле в области расширителя может изменяться достаточно плавно, что позволяет избежать каких-либо эффектов, связанных с непараксиальностью этого поля.

Мы рассматривали выше  $\alpha$ -частицы, хотя, например, для  $D^3He$ - или  $DD$ -реакций все эти рассуждения справедливы также и для других продуктов реакции: быстрого протона, трития и  $^3He$ .

## 2.3. Неидеальность АЦЛ

Рассмотрим ряд эффектов, которые связаны с неидеальностью разделения  $i$ - и  $\alpha$ -потоков в  $i$ - и  $\alpha$ -пробках АЦЛ.

Область удержания  $i$ - и  $\alpha$ -частиц в фазовом пространстве приведена на рис. 2 (во вращающейся системе координат (ВСК)). Из-за несимметрии пробок существуют две границы ухода; на рисунке сплошной линией показаны границы в данной пробке и пунктиром – в противоположной. Существуют  $\alpha$ -частицы, уходящие через  $i$ -пробку, и ионы, уходящие через  $\alpha$ -пробку; рассмотрим вклад этих частиц в баланс энергии и частиц в этой установке.

Очевидно, что при изотропном распределении  $\alpha$ -частиц по углам часть их потока с  $|V_\parallel| \gg |V_\perp|$  и  $V_\parallel < 0$  пересекает  $i$ -конус потерь и уходит в  $i$ -пробку. При достаточно больших  $R_H^i$  доля этих частиц равна  $1/4R_H^i$ . Часть энергии этих частиц рекупе-

рируется в  $i$ -электродной системе [1]. Поэтому доля потерь энергии  $\Delta W/W_{0\alpha}$  равна

$$\Delta W/W_{0\alpha} = (1/4R_H^i)(1 - \sqrt{W_{E\alpha}/W_{0\alpha}}).$$

При  $R_H^i \sim 5$  и  $W_{0\alpha} = 4$  МэВ эти потери несущественны. Однако в области  $i$ -пробки нужна система откачки образующегося гелия, чтобы исключить существенное загрязнение основной плазмы ионами  ${}^4\text{He}$  с энергией порядка энергии ионов плазмы. Небольшая примесь ионов  ${}^4\text{He}$  не опасна, так как они выводятся из плазмы несколько быстрее, чем ионы трития.

#### 2.4. Потери плазмы через $\alpha$ -пробку

Небольшая часть плазмы (она занимает область в окрестности точки (2) на рис. 2а) может уходить из этой системы через  $\alpha$ -пробку. Электроны, уходящие через эту пробку, доускоряются в  $\alpha$ -рекуператоре и могут заметно увеличить потери энергии.

Поток этих электронов можно существенно ограничить, установив на участке между  $\alpha$ -пробкой и рекуператором электростатический отражатель электронов. Отражатель может быть выполнен в виде двух коаксиальных цилиндров, охватывающих трубчатый поток плазмы в области расширителя. Если дебаевский радиус плазмы порядка зазора между цилиндрами, то, подав на цилиндры тормозящий потенциал, в несколько раз превышающий величину  $kT_e$ , можно полностью отсечь электронный поток. Ионы проходят через эту область и отражаются от  $\alpha$ -рекуператора. Тормозящий потенциал отражателя не влияет на движение ионов и  $\alpha$ -частиц, если продольный размер отражателя много меньше длины рекуператора.

Оценим плотность плазмы вблизи электростатического отражателя. Можно считать, что эта плотность равна плотности плазмы в точке (2) (рис. 2а) с точностью до геометрического множителя  $K$ , учитывающего расширение потока плазмы вблизи отражателя. Предполагая, что для ионов плазмы устанавливается максвелловское распределение, имеем

$$n_2 \leq n_0(T_i/E_0)(\Delta\theta/\pi)\exp(-E_0/T_i),$$

здесь  $E_0$  – высота барьера для ионов в точке (2),  $E_0 \approx W_{E0}$  (см. [2]);  $\Delta\theta$  – угловой размер области (2), по порядку величины  $\Delta\theta \approx (R_H^i)^{-1}$ ; учтем также, что  $W_{E0} \approx (1.8-2) R_r^\alpha T_i$  (см. [2]).

Для типичных параметров АЦЛ:  $R_r^i = 3$ ,  $R_r^\alpha = 5$ ,  $R_H^i \approx 3$ ,  $R_H^\alpha \leq 1$ , для плазмы с  $T_i \approx 50$  кэВ,  $n_0 \approx 3 \times 10^{13} \text{ см}^{-3}$ ,  $K \approx 2$  получим  $n_2 \approx 10^7 \text{ см}^{-3}$  и соответ-

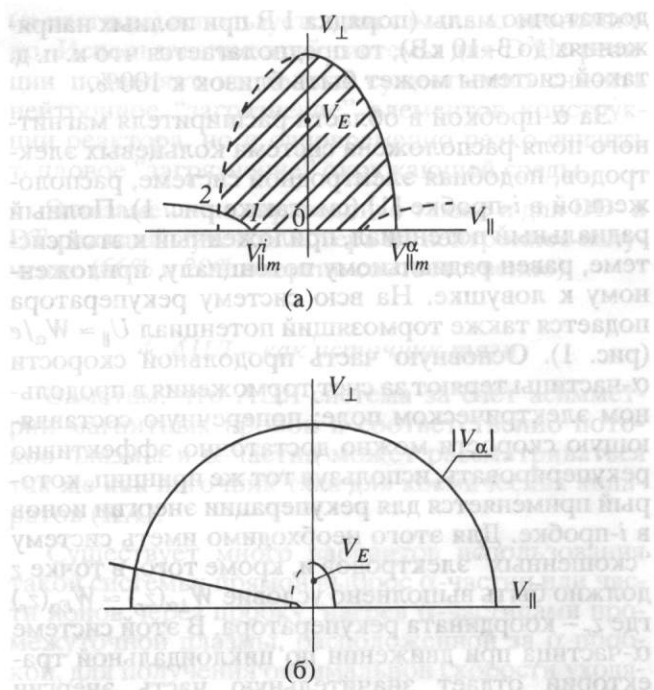


Рис. 2. Положение ионов и  $\alpha$ -частиц в фазовом пространстве для АЦЛ во вращающейся системе координат: а – область удержания ионов (заштриховано); справа –  $\alpha$ -пробка, слева – ионная пробка; б – положение  $\alpha$ -частиц в фазовом пространстве (масштаб другой, чем на рис. 2а).

ственно величину дебаевского радиуса порядка 50 см, что удовлетворяет условию проникновения тормозящего потенциала в плазму в отражателе. Более аккуратная оценка должна дать более выгодные условия для работы отражателя, так как выше не учитывался дополнительный спад плотности плазмы при энергии выше порога удержания за счет стока в “гиперболоид потерь”.

Дополнительные потери энергии могут быть связаны с потоком электронов, образованных за счет ионизации  $\alpha$ -частицами и ионами остаточного газа в расширителе рекуператора. Эта проблема решается улучшением вакуума в этой области. Для откачки вторичного Не необходимо использовать систему при давлении не менее  $10^{-10}$  Тор. При этом условии рассматриваемые выше электронные токи пренебрежимо малы.

#### 3.1. Рекуперация энергии $\alpha$ -частиц (возможный вариант прямой рекуперации)

Рассмотрим принципиальную схему простейшего рекуператора энергии  $\alpha$ -частиц для асимметричной центробежной ловушки.

Здесь не рассматривается электрическая часть рекуператора, обеспечивающая съем электроэнергии с электродов. Так как потери в современных полупроводниковых ключевых элементах

достаточно малы (порядка 1 В при полных напряжениях до 3–10 кВ), то предполагается что к. п. д. такой системы может быть близок к 100%.

За  $\alpha$ -пробкой в области расширителя магнитного поля расположена система кольцевых электродов, подобная электродной системе, расположенной в  $i$ -пробке [1] (см. также рис. 1). Полный радиальный потенциал, приложенный к этой системе, равен радиальному потенциальному, приложенному к ловушке. На всю систему рекуператора подается также тормозящий потенциал  $U_{||} \approx W_\alpha/e$  (рис. 1). Основную часть продольной скорости  $\alpha$ -частицы теряют за счет торможения в продольном электрическом поле; поперечную составляющую скорость можно достаточно эффективно рекуперировать, используя тот же принцип, который применяется для рекуперации энергии ионов в  $i$ -пробке. Для этого необходимо иметь систему "скошенных" электродов и, кроме того, в точке  $z$  должно быть выполнено условие  $W_{\perp\alpha}(z_r) = W_{E\alpha}(z_r)$ , где  $z_r$  – координата рекуператора. В этой системе  $\alpha$ -частица при движении по циклоидальной траектории отдает значительную часть энергии ("поперечной" энергии) тормозящему радиальному электрическому полю.

Найдем энергию, которая в этой системе не рекуперируется и теряется на электродах в виде тепла ( $\Delta W$ ). Обозначим координату рекуператора индексом  $x$  ( $x = z_r$ ), центра ловушки – 0. Введем параметр  $R_x = H_0/H_x \equiv (r_x/r_0)^2$ ; из закона изоротации получим [1]

$$W_E(x) = R_x W_E(0);$$

из закона сохранения магнитного момента –

$$W_{\perp}(x) = W_{\perp}(0)R_x^{-1}.$$

Продольная и поперечная энергии  $\alpha$ -частицы в точке  $x$  ( $H = H_x$ ) равны соответственно

$$W_{||}(x) = W_\alpha(1 - \sin^2\theta/R_x),$$

$$W_{\perp}(x) = W_\alpha(\sin^2\theta/R_x),$$

здесь величина  $W_{\perp}$  дана во вращающейся системе координат;  $\theta$  – угол между направлением магнитного поля и вектором скорости в центре ловушки. Поскольку продольный тормозящий потенциал не должен превышать энергию наиболее медленных  $\alpha$ -частиц, то  $eU_{||}(x) = W_\alpha(1 - R_x^{-1})$ . Средняя энергия, теряемая за счет неполной рекуперации продольной компоненты скорости  $\alpha$ -частиц (в предположении, что  $\alpha$ -частицы распределены изотропно по углам), равна

$$\Delta W_{||} = \int d\theta \sin\theta (W_{||}(x) - eU_{||}(x)) = W_\alpha/3R_x.$$

Если рекуператор поперечной энергии имеет достаточно много элементов (колец), т.е. ларморов-

ский радиус  $\alpha$ -частицы много больше расстояния между кольцами, то можно пренебречь потерями за счет конечного числа элементов в рекуператоре и рассматривать его как идеальную систему, в которой  $\Delta W_{\perp}$  определяется скоростью  $V_{\perp}$  в верхней точке циклоиды:

$$\begin{aligned} \Delta W_{\perp} &= W_\alpha R_x^{-1} \int (\sin\theta - R_x \sqrt{W_{E\alpha}/W_\alpha})^2 d\theta \sin\theta = \\ &= W_\alpha R_x^{-1} (2/3 + R_x^2 (W_{E\alpha}/W_\alpha) - \\ &\quad - \pi/2 R_x (W_{E\alpha}/W_\alpha)^{1/2}). \end{aligned}$$

Полная потеря энергии равна

$$\Delta W = \Delta W_{||} + \Delta W_{\perp} = W_\alpha R_x^{-1} (1 + R_x^{-1} (W_{E\alpha}/W_\alpha) - \\ \quad - \pi/2 R_x (W_{E\alpha}/W_\alpha)^{1/2}).$$

Потери энергии будут минимальными, если рекуператор расположен в точке, где  $(H_0/H_x)(W_{E\alpha}/W_\alpha)^{1/2} = 1$ , т.е.  $H_x = H_0 \sqrt{W_{E\alpha}/W_\alpha}$ .

В этом случае полные потери энергии на рекуператоре равны

$$\Delta W = (2 - \pi/2) \sqrt{W_{E\alpha} W_\alpha}$$

или

$$\Delta W/W_\alpha = 0.43 \sqrt{W_{E\alpha}/W_\alpha}.$$

Для DT-реакции, например, при энергии  $W_{ED} = 0.2$  МэВ (см. [2]),  $W_{E\alpha} = 0.4$  МэВ соответственно  $W_\alpha = 3.52$  МэВ, величина  $\Delta W/W_\alpha = 14.5\%$ .

Для  $D^3He$ -реакции для протона при  $W_{ED} = 0.2$  МэВ,  $W_{Ep} = 0.1$  МэВ,  $W_p = 14.67$  МэВ и величина  $\Delta W/W_p = 3.6\%$ , т.е. полезная отдача энергии 96.4%.

Величина потерь на рекуператоре может быть существенно уменьшена, если использовать в плазме поляризованные ионы D, T или  $^3He$  [5, 6].

### 3.2. Два и (более) вида ядерных частиц

Выше рассматривалась схема, в которой осуществляется рекуперация лишь одного вида ядерных частиц ( $\alpha$ -частицы в DT-реакции). С небольшими изменениями эта же схема может быть использована для двух видов ядерных частиц ( $D^3He$ -реакция). В этом случае в дополнение к основному рекуператору, настроенному на энергию протонов (14.67 МэВ), устанавливается конусный (секторный) рекуператор, настроенный на энергию  $^4He$  (3.67 МэВ) в соответствующей точке магнитного поля. Конструкция дополнительного (секторного) рекуператора в принципе не отличается от конструкции основного. Он расположен в точке магнитного поля, где выполнено условие минимизации потерь энергии в процессе ее преобразования:

$$H_x^\alpha = H_0 (W_{E\alpha}/W_\alpha)^{1/2} \approx 0.316 H_0,$$

при  $W_{E\alpha} = 0.4$  МэВ,  $W_\alpha = 3.67$  МэВ. Основной рекуператор расположен дальше от ловушки в области меньшего магнитного поля

$$H_x^p = H_0 (W_{Ep}/W_p)^{1/2} \approx 0.083 H_0$$

при  $W_{Ep} = 0.1$  МэВ,  $W_p = 14.67$  МэВ. Тормозящий потенциал на дополнительном рекуператоре определяется энергией наиболее медленных  $\alpha$ -частиц (см. выше) и по порядку величины равен 3.67 МВ, в то время как на основном 14.67 МВ. Таким образом оба рекуператора размещаются один за другим в расширителе. Конструктивная особенность дополнительного рекуператора состоит в том, что он перехватывает лишь небольшую часть потока протонов, идущих из ловушки на основной рекуператор, за счет того, что его азимутальный размер в потоке ядерных частиц, уходящих из ловушки, составляет несколько градусов (1–3% от основного потока). Протоны, перехваченные секторным рекуператором, естественно передают ему большую часть своей энергии, однако доля этих частиц невелика. Все быстрые  $\alpha$ -частицы (3.67 МэВ) уходят на секторный рекуператор после нескольких десятков отражений от  $i$ -пробки и тормозящего поля  $p$ -рекуператора за счет быстрого азимутального дрейфа  $\alpha$ -частиц в скрещенных полях ловушки. Время ухода  ${}^4\text{He}$  с учетом азимутального вращения много меньше любых времен торможения или рассеяния.

Для DD-реакции (три и более типов ядерных частиц) можно использовать рассмотренную выше схему: основной рекуператор для протонов (3.03 МэВ) и секторный одновременно для Т (1.01 МэВ) и  ${}^3\text{He}$  (0.82 МэВ) соответственно со снижением эффективности. Другой вариант: удерживать Т и  ${}^3\text{He}$  за счет отражения от области рекуператоров до тех пор, пока не реализуются соответствующие ядерные реакции, а затем рекуперировать:  $p$  (3.03 МэВ),  ${}^4\text{He}$  (3.52 МэВ) и  ${}^4\text{He}$  (3.67 МэВ) на секторном рекуператоре и  $p$  (14.67 МэВ) на основном рекуператоре.

### 3.3. Тепловые потери

Следует отметить еще одну особенность рассмотренной системы для случая, когда используется  $D^3\text{He}$ -реакция. Поскольку продукты реакции переводят в электрическую энергию практически всю свою энергию, то тепловые потери здесь существенно снижены. В режимах с  $Q > 20$ –40 к. п. д. такой системы порядка 95% и выше. Здесь нет противоречия с законами термодинамики, поскольку малоэнтропийный источник энергии

( $\alpha$ -частицы) используется максимально экономично. Использование этой системы для  $D^3\text{He}$ -реакции позволяет не только существенно снизить нейтронное "загрязнение" элементов конструкции реактора, но и одновременно резко снизить тепловое "загрязнение" окружающей среды.

Это замечание справедливо также и для DD- и DT-реакций с учетом потерь на нейтронное излучение (66% и 20% энергии соответственно).

### 4. АЦЛ – как источник тяги

Заметим, что АЦЛ-система за счет асимметрии магнитных пробок и соответственно потоков плазмы и  $\alpha$ -частиц может рассматриваться так же как источник тяги для космических аппаратов (КА).

Существует много вариантов использования такой системы: прямой выброс  $\alpha$ -частиц или части ионов через пробку; нагрев  $\alpha$ -частицами промежуточной плазмы, расположенной за  $\alpha$ -пробкой, для получения оптимальной скорости уходящих ионов этой плазмы, и т.д. Выбор оптимального варианта зависит от параметров КА. Подробнее эта проблема будет рассмотрена в отдельной работе.

## ОБСУЖДЕНИЕ

1. Предложен вариант асимметричной центробежной ловушки, в которой потоки ионов и  $\alpha$ -частиц уходят из ловушки через различные пробки. Соответственно рекуперация энергии ионов и  $\alpha$ -частиц происходит оптимальным образом для каждого сорта частиц.

2. Показана возможность создания термоядерного реактора с переработкой продуктов реакции вне реакторной зоны, с использованием АЦЛ в качестве реактора. При этом решаются проблемы: удаления "золы" из реактора и эффективного преобразования энергии продуктов реакции в электроэнергию, что недостижимо ни в одной из известных сегодня схем термоядерных реакторов.

## СПИСОК ЛИТЕРАТУРЫ

1. Bekhtenev A.A., Volosov V.I., Pal'chikov V.E. et al. // Nucl. Fusion. 1980. V. 20. P. 579.
2. Volosov V.I., Pekker M.S. // Ibid. 1981. V. 21. P. 1275.
3. Abdashitov G.F., Beloborodov A.V., Volosov V.I. et al. // Ibid. 1991. V. 31. P. 1275.
4. Northrop T. The Adiabatic Motion of Charged Particles. Interscience Publishers.
5. Адъясович Б.П., Фоменко Д.Е. // Ядер. физика. 1969. Т. 9. С. 283.
6. Максименко Б.П., Сергеев Е.Б. // Атом. техника за рубежом. 1984. № 7. С. 7.